



Numéro d'inscription

Numéro de table

Né(e) le

Nom : _____

Prénom : _____

Emplacement QR Code

Filière : **PSI**

Session : **2022**

Épreuve de : **Sciences Industrielles de l'Ingénieur**

Consignes

- Remplir soigneusement l'en-tête de chaque feuille avant de commencer à composer
- Rédiger avec un stylo non effaçable bleu ou noir
- Ne rien écrire dans les marges (gauche et droite)
- Numéroté chaque page (cadre en bas à droite)
- Placer les feuilles A3 ouvertes, dans le même sens et dans l'ordre

PSI7SI

DOCUMENT RÉPONSE

Ce Document Réponse doit être rendu dans son intégralité.

Q1 - Expression de la largeur l en fonction de γ_1 et de la géométrie

$$l = 2 \left(\overrightarrow{IA_1 A_2} \cdot \vec{y_0} + r_n \right) \quad \text{et} \quad \overrightarrow{IA_1 A_2} \cdot \vec{y_0} = \frac{L_1}{2} \cdot \vec{u}_1 \cdot \vec{y_0} = \frac{L_1}{2} \cdot \sin \delta_1$$

Donc $l = 2 \left(\frac{L_1}{2} \cdot \sin \delta_1 + r_n \right)$

Q2 - Valeur de la réduction d'envergure A . Conclusion

Par $\delta_1 = 90^\circ$, on a $l = l_{\max} = L_1 + 2 \cdot r_n \approx 0,26 \text{ m}$
" $\delta_1 = 0^\circ$, " " $l = l_{\min} = 2 \cdot r_n \approx 0,13 \text{ m}$
On a donc : $A = 1 - \frac{2 \cdot r_n}{L_1 + 2 \cdot r_n} \approx 52\%$
On a bien $A > 50\%$ donc la performance énoncée sera atteinte.
↑
Valeurs de l'exigence 1.1

Q3 - Mesure des valeurs extrêmes de l_{proj} . Explication des écarts s'ils existent. Conclusion

Je relève : $l_{\text{proj}}^{\max} \approx 0,26 \text{ m}$. Et donc $l_{\text{proj}}^{\max} \approx l_{\max}$
 $l_{\text{proj}}^{\min} \approx 0,12 \text{ m}$. " " $l_{\text{proj}}^{\min} \approx l_{\min}$
(espace libre page suivante)

les écarts sont minimes et peuvent être associés à une mauvaise lecture sur la figure 5.

Le drone n'entre pas en collision avec l'obstacle donc l'exigence 1 est respectée.

Q4 - Expression littérale de la vitesse $\vec{V}(P, H_1/R_G)$

$$\vec{V}(P, H_1/R_G) = \vec{V}(P, H_1/1) + \vec{V}(P, 1/0) + \vec{V}(P, 0/R_G)$$

$$\begin{aligned} \bullet \vec{V}(P, H_1/1) &= \vec{V}(\cancel{P}, H_1/1) + \overrightarrow{PA_{H_1}} \wedge (\omega_1 \cdot \vec{z}_0) = v_u \cdot \vec{x}_0 \\ &= r_H \cdot \omega_1 \cdot \vec{y}_{H_1} \end{aligned}$$

$$\begin{aligned} \bullet \vec{V}(P, 1/0) &= \vec{V}(A_1, 1/0) + \overrightarrow{PA_1} \wedge (\dot{\gamma}_1 \cdot \vec{z}_0) \\ &= r_H \cdot \dot{\gamma}_1 \cdot \vec{y}_{H_1} - \frac{L_1}{2} \cdot \dot{\gamma}_1 \cdot \vec{y}_1 \end{aligned}$$

Donc: $\vec{V}(P, H_1/R_G) = v_u \cdot \vec{x}_0 + r_H \cdot (\omega_1 + \dot{\gamma}_1) \cdot \vec{y}_{H_1} - \frac{L_1}{2} \cdot \dot{\gamma}_1 \cdot \vec{y}_1$

Q5 - Configuration où la vitesse est maximale. Valeur V_{\max} . Influence de $\dot{\gamma}_1$ sur V_{\max}

La vitesse est maximale lorsque $\vec{y}_{H_1} = \vec{x}_0$ et $\vec{y}_1 = -\vec{x}_0$

Dans ce cas, on a directement:

$$\begin{aligned} V_{\max} &= \underbrace{v_u}_{2,5 \text{ m/s}} + \underbrace{r_H \cdot \omega_1}_{89,8 \text{ m/s}} + \underbrace{\left(r_H + \frac{L_1}{2}\right)}_{5,24 \text{ rad/s}} \cdot \underbrace{\dot{\gamma}_1}_{0,7 \text{ m/s}} \\ &= 93 \text{ m/s} \end{aligned}$$

On remarque que $V_{\max} \approx \|\vec{V}(P, H_1/1)\|$ et que $V_{\max} < 200 \text{ m/s}$ donc l'exigence 4 est respectée.

Q6 - Expression littérale de $\vec{\delta}(O, 1/R_0) \cdot \vec{z}_0$. Dédution de $\vec{\delta}(O, 2/R_0) \cdot \vec{z}_0$

$$\vec{\delta}(O, 1/R_0) \cdot \vec{z}_0 = \vec{\delta}(A_1, 1/R_0) \cdot \vec{z}_0 + [\vec{OA}_1 \wedge \vec{Rd}_{1/R_0}] \cdot \vec{z}_0$$

et $\vec{\delta}(A_1, 1/R_0) \cdot \vec{z}_0 = \frac{A}{dt} (\vec{V}_{A_1, 1/R_0})_{R_0} \cdot \vec{z}_0 + (m_b \vec{J}_{A_1, 1/R_0} \wedge \vec{V}_{A_1, 1/R_0}) \cdot \vec{z}_0$

si vitesse

$$= I_{bz} \cdot \ddot{\gamma}_1 \quad \vec{J}(A_1, 1/R_0) = \vec{0} \quad \text{car } A_1 \text{ sur l'axe de la poutre entre 1 et 0.}$$

$$\vec{Rd}_{1/R_0} = m_b \cdot \frac{d}{dt} (\vec{J}(A_1, 1/R_0))_{R_0} = \vec{0}$$

On a donc $\vec{\delta}(O, 1/R_0) \cdot \vec{z}_0 = I_{bz} \cdot \ddot{\gamma}_1$ et de même:

$$\vec{\delta}(O, 2/R_0) \cdot \vec{z}_0 = I_{bz} \cdot \ddot{\gamma}_2$$

Q7 - Expression littérale de $\vec{\delta}(O, H1/R_0) \cdot \vec{z}_0$

$$\vec{\delta}(O, H_1/R_0) \cdot \vec{z}_0 = \vec{\delta}(I_1, H_1/R_0) \cdot \vec{z}_0 + (\vec{OI}_1 \wedge \vec{Rd}_{H_1/R_0}) \cdot \vec{z}_0$$

$\frac{L_0}{2} \cdot \vec{x}_0 + \frac{h}{4} \cdot \vec{z}_0 - \frac{L_1}{2} \cdot \vec{x}_1 + \frac{h}{4} \cdot \vec{z}_0$ d'annule

• $\vec{\delta}(I_1, H_1/R_0) \cdot \vec{z}_0 = \frac{d}{dt} (\vec{V}_{I_1, H_1/R_0})_{R_0} \cdot \vec{z}_0 + \dots$ terme nul

et $\vec{V}_{I_1, H_1/R_0} \cdot \vec{z}_0 = (\vec{I}_{I_1} \cdot \vec{\omega} + \vec{J}_{H_1/R_0}) \cdot \vec{z}_0 + \text{terme nul}$

$\vec{\omega} = \omega \cdot \vec{z}_0 + \dot{\gamma}_1 \cdot \vec{z}_1$

$$= I_{Hz} \cdot (\omega + \dot{\gamma}_1)$$

donc $\vec{\delta}(I_1, H_1/R_0) \cdot \vec{z}_0 = I_{Hz} \cdot (\omega + \dot{\gamma}_1)$

• $\vec{Rd}_{H_1/R_0} = m_h \cdot \frac{d}{dt} (\vec{J}(I_1, H_1/R_0))_{R_0}$

avec $\vec{J}(I_1, H_1/R_0) = \vec{J}(I_1, H_1/1) + \vec{J}(I_1, 1/R_0)$

$$= \vec{J}(I_1, H_1/R_0) + I_{I_1} \wedge (\dot{\gamma}_1 \cdot \vec{z}_0)$$

$$= (\frac{L_1}{2} \cdot \vec{x}_1 - \frac{h}{4} \cdot \vec{z}_0) \wedge (\dot{\gamma}_1 \cdot \vec{z}_0)$$

$$= -\frac{L_1}{2} \cdot \dot{\gamma}_1 \cdot \vec{y}_1 \quad \text{donc } \vec{Rd}_{H_1/R_0} = -m_h \cdot \frac{L_1}{2} \cdot \ddot{\gamma}_1 \cdot \vec{y}_1 + m_h \cdot \frac{L_0}{4} \cdot \dot{\gamma}_1^2 \cdot \vec{x}_1$$

et $(\vec{x}_0 \wedge \vec{y}_1) \cdot \vec{z}_0 = \omega \sin \gamma_1 \quad \| (\vec{x}_0 \wedge \vec{y}_1) \cdot \vec{z}_0 = \sin \gamma_1$

D'où : $\vec{\delta}(O, H_1/R_0) \cdot \vec{z}_0 = I_{Hz} \cdot \omega + (I_{Hz} + m_h \cdot \frac{L_1^2}{4} - m_h \cdot \frac{L_0 \cdot L_1}{4} \cdot \omega \sin \gamma_1) \cdot \ddot{\gamma}_1 + m_h \cdot \frac{L_0 \cdot L_1}{4} \cdot \dot{\gamma}_1^2 \cdot \sin \gamma_1$

Q8 - Dédution de l'expression littérale $\vec{\delta}(O, H2/R_0) \cdot \vec{z}_0$

Il faut substituer L_1 par $\ominus L_1$ donc :

$$\vec{\delta}(O, H_2/R_0) \cdot \vec{z}_0 = I_{Hz} \cdot \omega + (I_{Hz} + m_h \cdot \frac{L_1^2}{4} + m_h \cdot \frac{L_0 \cdot L_1}{4} \cdot \omega \sin \gamma_1) \cdot \ddot{\gamma}_1 - m_h \cdot \frac{L_0 \cdot L_1}{4} \cdot \dot{\gamma}_1^2 \cdot \sin \gamma_1$$

Q9 - Expression de $\vec{\delta}(O, \Sigma/R_0) \cdot \vec{z}_0$. Expression de la constante I_{eq}

En additionnant les moments dynamiques:

$$\begin{aligned} \vec{\delta}(O, \Sigma/R_0) \cdot \vec{z}_0 &= 2 \cdot I_{hz} \cdot \ddot{\gamma}_2 + 2 \cdot m_h \cdot \left(\frac{L_1}{2}\right)^2 \cdot \ddot{\gamma}_2 + I_{bz} \cdot \ddot{\gamma}_2 \\ &\quad + 2 \cdot I_{hz} \cdot \ddot{\gamma}_1 + 2 \cdot m_h \cdot \left(\frac{L_1}{2}\right)^2 \cdot \ddot{\gamma}_1 + I_{bz} \cdot \ddot{\gamma}_1 \\ &= 2 \cdot I_{eq} \cdot (\ddot{\gamma}_1 + \ddot{\gamma}_2) \end{aligned}$$

$$\text{où } I_{eq} = I_{hz} + m_h \cdot \left(\frac{L_1}{2}\right)^2 + \frac{1}{2} I_{bz}$$

Q10 - Justification du choix de conception : $\gamma_2 = \pi - \gamma_1$

Si $\gamma_2 = \pi - \gamma_1$ on a alors $\ddot{\gamma}_2 = -\ddot{\gamma}_1$ et donc

$$\vec{\delta}(O, \Sigma/R_0) \cdot \vec{z}_0 = 0 \text{ ce qui correspond à l'exigence 1.1.1.}$$

Q11 - Simplification de $I_\Sigma(O)$. Justification

Σ présente une symétrie matérielle par rapport au plan $(O, \vec{y}_0, \vec{z}_0)$,

on aura donc $\int_{\Sigma} x \cdot y \cdot dm = 0$

$$\text{Donc } I_\Sigma(O) = \begin{pmatrix} I_{\Sigma x} & 0 & 0 \\ 0 & I_{\Sigma y} & I_{\Sigma yz} \\ 0 & I_{\Sigma yz} & I_{\Sigma z} \end{pmatrix} (O, B_0)$$

Q12 - Variation maximale des moments d'inertie. Conclusion

$$\text{Je mesure : } \Delta I_{\Sigma x}^{\max} \approx 84 \cdot 10^{-6} \text{ kg} \cdot \text{m}^2$$

$$\text{et } I_{\Sigma x}(90^\circ) = 5,3 \cdot 10^{-4} \text{ kg} \cdot \text{m}^2$$

$$\text{Donc } \frac{\Delta I_{\Sigma x}}{I_{\Sigma x}(90^\circ)} \Big|_{\max} \approx 16\%$$

$$\text{De même : } \Delta I_{\Sigma y}^{\max} \approx 84 \cdot 10^{-6} \text{ kg} \cdot \text{m}^2$$

$$\text{donc } \frac{\Delta I_{\Sigma y}}{I_{\Sigma y}(90^\circ)} \Big|_{\max} \approx 4,3\%$$

$$I_{\Sigma y}(90^\circ) \approx 1,96 \cdot 10^{-3} \text{ kg}$$

L'inertie sera peu modifiée. Déplier les hélices augmente surtout l'inertie autour de l'axe (O, \vec{u}_0) .

Numéro d'inscription

Numéro de table

Né(e) le

Nom : _____

Prénom : _____

Emplacement
GAR Code

Filière : **PSI**

Session : **2022**

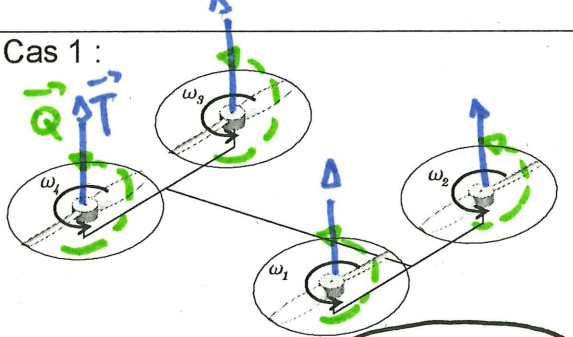
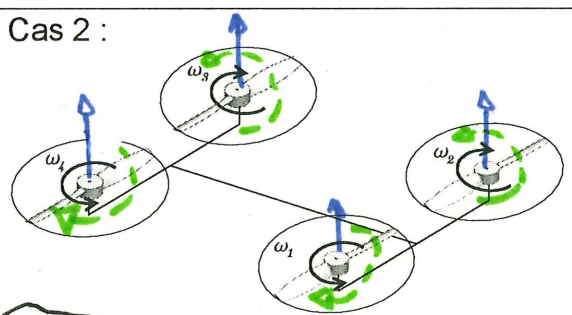
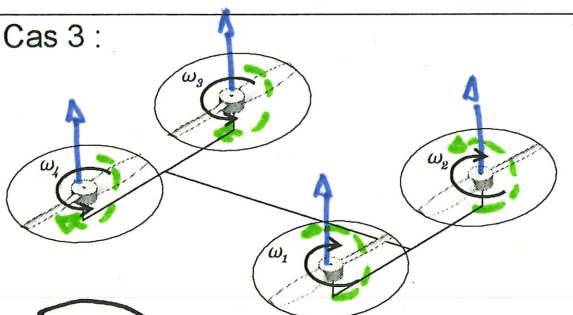
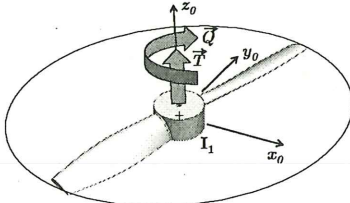
Épreuve de : **Sciences Industrielles de l'Ingénieur**

Consignes

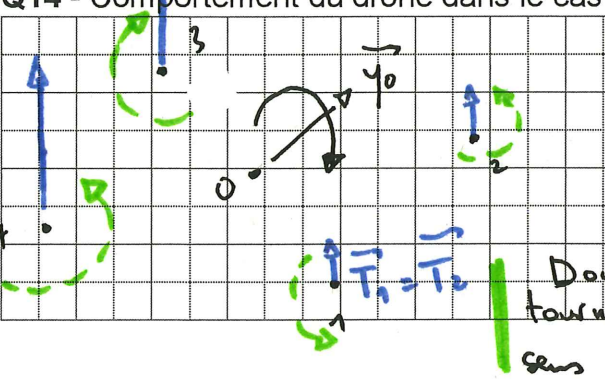
- Remplir soigneusement l'en-tête de chaque feuille avant de commencer à composer
- Rédiger avec un stylo non effaçable bleu ou noir
- Ne rien écrire dans les marges (gauche et droite)
- Numéroté chaque page (cadre en bas à droite)
- Placer les feuilles A3 ouvertes, dans le même sens et dans l'ordre

PSI7SI

Q13 - Représentation de \vec{T} et \vec{Q} . Choix équilibre ou non

<p>Cas 1 :</p>  <p>À l'équilibre Non à l'équilibre</p>	<p>Cas 2 :</p>  <p>À l'équilibre Non à l'équilibre</p>
<p>Cas 3 :</p>  <p>À l'équilibre Non à l'équilibre</p>	<p>Compléter chacun des cas en représentant les actions mécaniques \vec{T} et \vec{Q}. Exemple de représentation des efforts :</p>  <p>Pour l'équilibre, entourer la bonne réponse.</p>

Q14 - Comportement du drone dans le cas proposé. Justification

 <p>$\vec{T}_3 = \vec{T}_4$</p> <p>$\vec{T}_1 = \vec{T}_2$</p>	<p>On a : $\vec{T}_3 = \vec{T}_4$ et $\vec{T}_1 = \vec{T}_2$ et $\ \vec{T}_3\ > \ \vec{T}_1\$</p> <p>les moments \vec{Q}_i se compensent.</p> <p>Donc le drone va s'incliner en tournant autour de (G, \vec{y}_0) dans le sens positif.</p>
---	---

Q15 - Expression du torseur de l'action de l'air sur $H1$ au point O dans la base B_0

On a : $\{T_{Air \rightarrow H1}\} = \begin{cases} \vec{T} = T \cdot \vec{z}_0 \\ \vec{Q} = -Q \cdot \vec{z}_0 \end{cases}$

Calculons : $\vec{\Pi}_{O, Air \rightarrow H1} = \vec{\Pi}_{H1, Air \rightarrow H1} + \vec{OH1} \wedge (T \cdot \vec{z}_0)$

$$= -Q \cdot \vec{z}_0 - \frac{L_0}{2} \cdot T \cdot \vec{y}_0 + \frac{L_1}{2} \cdot T \cdot \vec{y}_1$$

où $\vec{y}_1 = \cos \delta_1 \cdot \vec{y}_0 - \sin \delta_1 \cdot \vec{x}_0$

$$\vec{\Pi}_{O, Air \rightarrow H1} = -Q \cdot \vec{z}_0 - \frac{L_1}{2} \cdot T \cdot \sin \delta_1 \cdot \vec{x}_0 + \left(\frac{L_1 \cos \delta_1}{2} - \frac{L_0}{2} \right) \cdot T \cdot \vec{y}_0$$

Donc : $\vec{\Pi}_{O, Air \rightarrow H1} = -\frac{L_1}{2} \cdot C_T \cdot \omega_1^2 \cdot \sin \delta_1 \cdot \vec{x}_0 + (L_1 \cos \delta_1 - L_0) \cdot \frac{C_T}{2} \cdot \omega_1^2 \cdot \vec{y}_0 - C_Q \cdot \omega_1^2 \cdot \vec{z}_0$

Q16 - Valeur du moment quand γ_1 est nul. Conclusion

Pour $\delta_1 = 0^\circ$, on a :

$$\sum \vec{\Pi}_{O, Air \rightarrow H1} \cdot \vec{z}_0 = 0 \quad \text{on a également} \begin{cases} \sum \vec{\Pi}_{O, Air \rightarrow H1} \cdot \vec{y}_0 = 0 \\ \sum \vec{\Pi}_{O, Air \rightarrow H1} \cdot \vec{x}_0 = 0 \end{cases}$$

Il y a équilibre sur les moments donc l'attitude du drone sera pas modifiée. ORIENTATION

~~Q17 - Degré d'hypostatisme du modèle proposé. Justification~~

ATTITUDE \neq ALTITUDE

Q18 - Contrainte(s) géométrique(s) à respecter

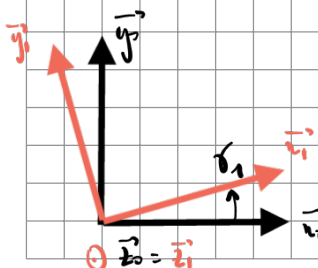
Q19 - Modification et schéma du modèle pour le rendre isostatique. Justification

Q20 - Fermeture vectorielle sous la forme $L_{c1}(\theta)\vec{x}_{c1} = \dots$

$$\vec{OC}_1 + \vec{C_1B_1} + \vec{B_1A_1} + \vec{A_1O} = \vec{0} \Leftrightarrow R_1 \vec{y}_0 + L_{c1}(\theta) \vec{x}_{c1} + a_1 \vec{x}_1 - \frac{L_0}{2} \vec{x}_0 = \vec{0}$$

Et donc: $L_{c1}(\theta) \vec{x}_{c1} = \frac{L_0}{2} \vec{x}_0 - a_1 \vec{x}_1 - R_1 \vec{y}_0$

Q21 - Expression de $L_{c1}^2(\theta)$ sous la forme proposée. Expression des constantes A, B et C



Donc: $L_{c1}^2(\theta) = \left[\frac{L_0}{2} \vec{x}_0 - a_1 \vec{x}_1 - R_1 \vec{y}_0 \right]^2$

$$L_{c1}^2(\theta) = \frac{L_0^2}{4} + a_1^2 + R_1^2 - a_1 L_0 \cos \delta_1 + 2 a_1 R_1 \sin \delta_1$$

A = -a₁ L₀ et C = $\frac{L_0^2}{4} + a_1^2 + R_1^2$
 B = 2 a₁ R₁

Q22 - Valeurs approchées de L_{c1}^{init} et L_{c1}^{final} . Valeur approchée de $\Delta\theta$

$$L_{c1}^{init} = L_{c1}(\theta = 0^\circ) = L_{c1}(\delta_1 = 90^\circ) = \sqrt{C + B} \approx \sqrt{26\,500} \text{ mm} \approx \sqrt{25} \cdot \sqrt{1000} \text{ mm} \approx 150 \text{ mm}$$

$$L_{c1}^{final} = L_{c1}(\theta = \Delta\theta) = L_{c1}(\delta_1 = 0^\circ) = \sqrt{C + A} \approx \sqrt{10\,900} \text{ mm} \approx 100 \text{ mm}$$

Donc: $\Delta L_{c1} \approx 50 \text{ mm}$ or $L_{c1} = R_1 \Delta\theta$ (enroulement)

Et donc: $\Delta\theta \approx \frac{57 \text{ mm}}{34 \text{ mm}} \approx 1,8 \text{ rad} \times \frac{180^\circ}{\pi \text{ rad}} \approx 108^\circ$

$$\frac{1,6}{\times 6} = 9,6$$

$$\frac{9,6}{\div 6} = 10,8$$

$$\frac{5}{\div 3} = 1,8$$

Q23 - Valeur approchée de R_2

Je relève $R_2 \approx 23 \text{ mm}$ pour $f(R_2) = 0$.

Q24 - Critères de performance en dépliement et repliement. Conclusion

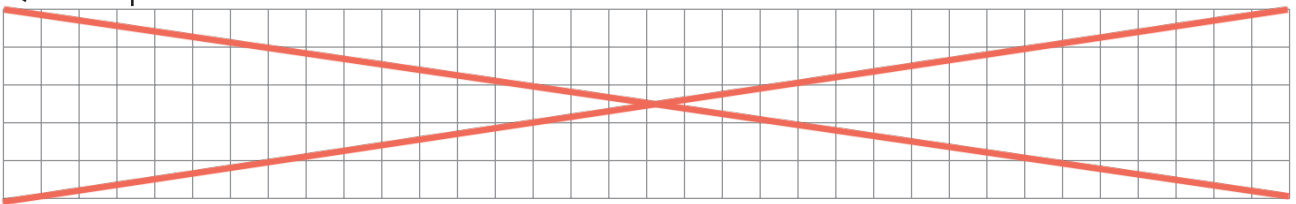
Temps de dépliement/repliement $\approx 0,25 \text{ s}$ (repliement) $< 300 \text{ ms}$
 $\approx 0,32 \text{ s}$ (dépliement) $> 300 \text{ ms}$

Donc : le dépliement est légèrement trop lent (OK pour le repliement)

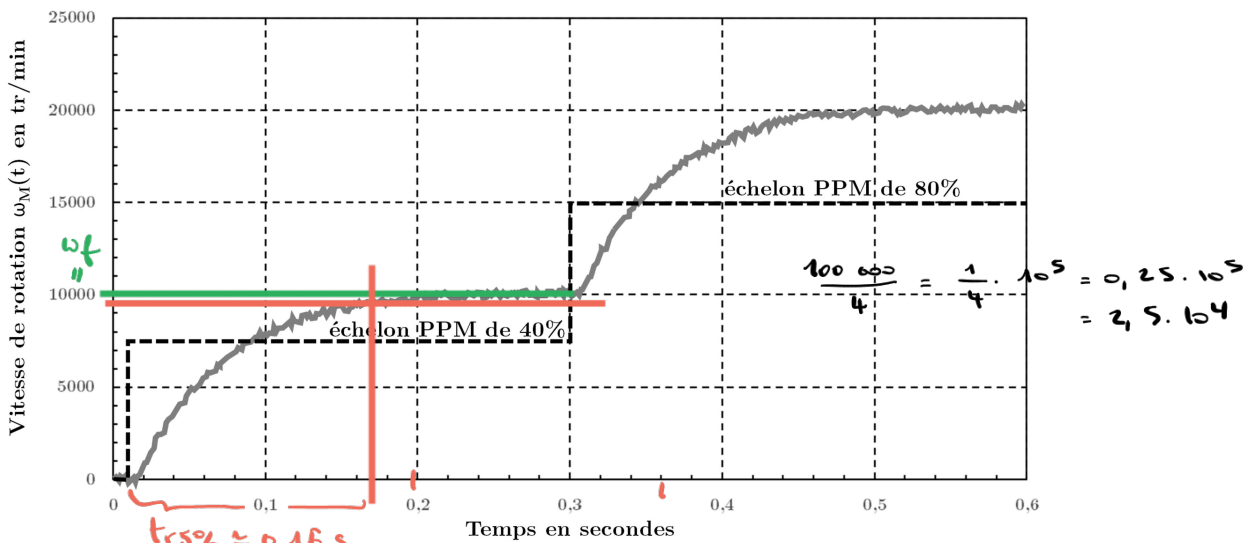
La précision à $\pm 2^\circ$ semble être respectée.

Difficile de conclure quantitativement sur les autres critères...

Q25 - Explication sources des oscillations



Q26 - Justification du modèle. Tracé et identification



La réponse à un échelon (lin de fonction) :
 • a une pente à l'origine non-nulle,
 • ne présente pas de dépassements,
 • tend vers une valeur finie.

Ces raisons justifient bien une fonction de transfert de la forme :


$H_{rot}(p) = \frac{K_M}{1 + T_M \cdot p}$ où $\omega_f = K_M \cdot \omega_0$ ($\omega_f \approx 10 \cdot 10^3 \text{ tr/min}$ et $\omega_0 = 0,4$)
 donc $K_M \approx 2,5 \cdot 10^4 \text{ (tr/min)/1}$
 et $T_M = t_{r50\%}/3$ où $t_{r50\%} \approx 0,16 \text{ s} \approx 0,15 \text{ s}$
 donc $T_M \approx 50 \text{ ms}$

Consignes

- Remplir soigneusement l'en-tête de chaque feuille avant de commencer à composer
- Rédiger avec un stylo non effaçable bleu ou noir
- Ne rien écrire dans les marges (gauche et droite)
- Numéroter chaque page (cadre en bas à droite)
- Placer les feuilles A3 ouvertes, dans le même sens et dans l'ordre

Q27 - Justification du décalage d_y . Identification des capteurs C_1 , C_2 permettant de mesurer T ou Q

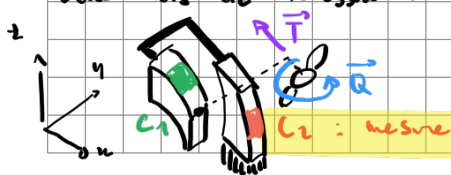
Un tel capteur mesure la déformation et flexion du corps d'épreuve:



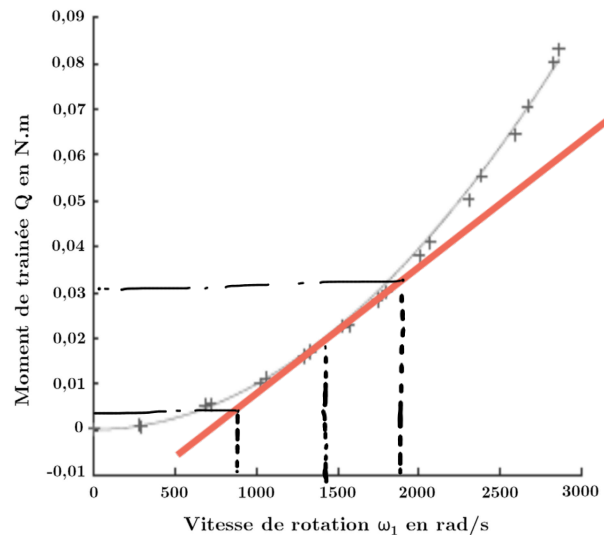
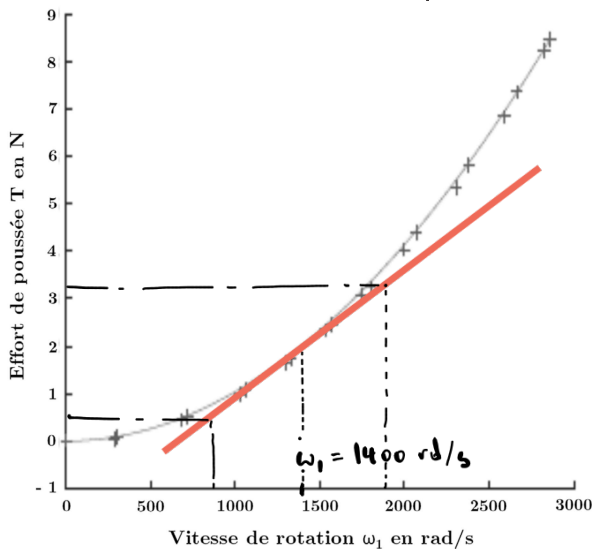
Donc lors de l'essai :

C_1 : mesure le moment de trainée et ce capteur se se déformera que s'il existe une distance $d_y \neq 0$.

C_2 : mesure la force de poussée



Q28 - Linéarisation autour du point de fonctionnement : ΔT et ΔQ en fonction de $\Delta \omega$

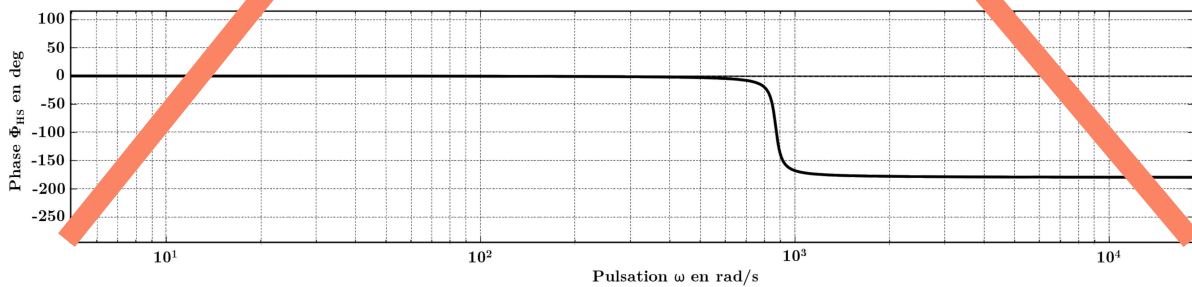
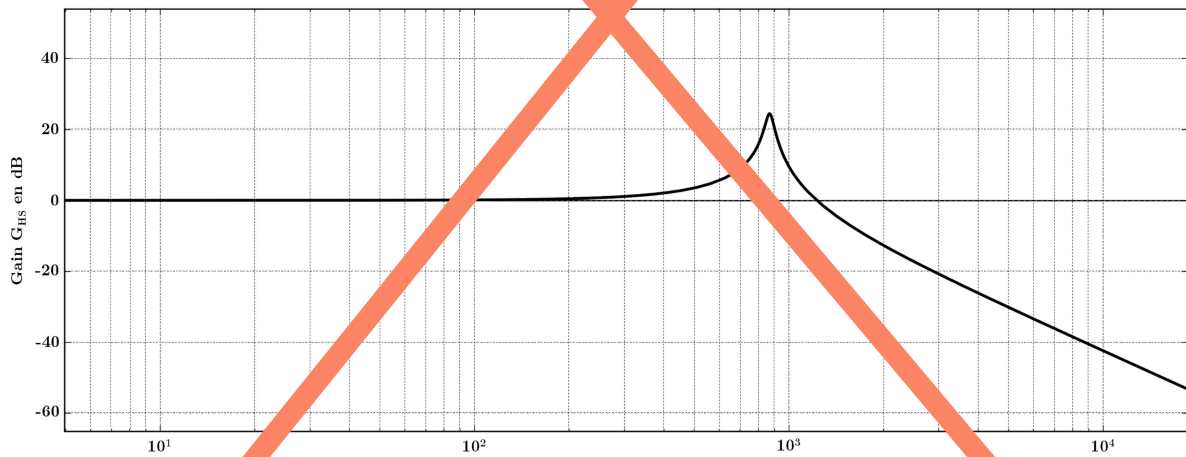
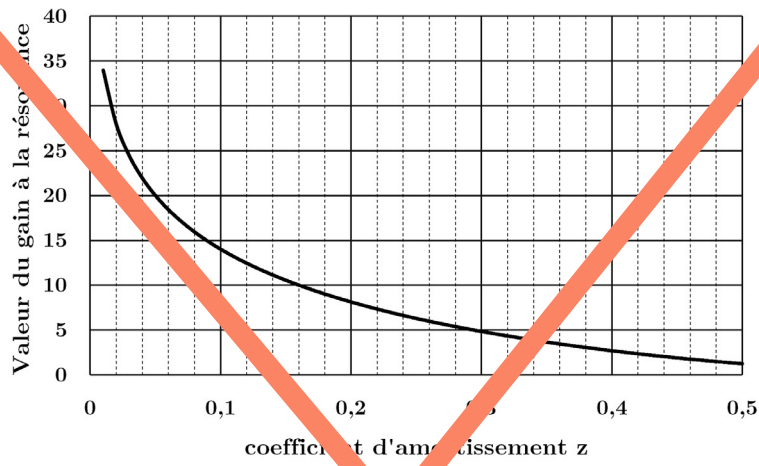
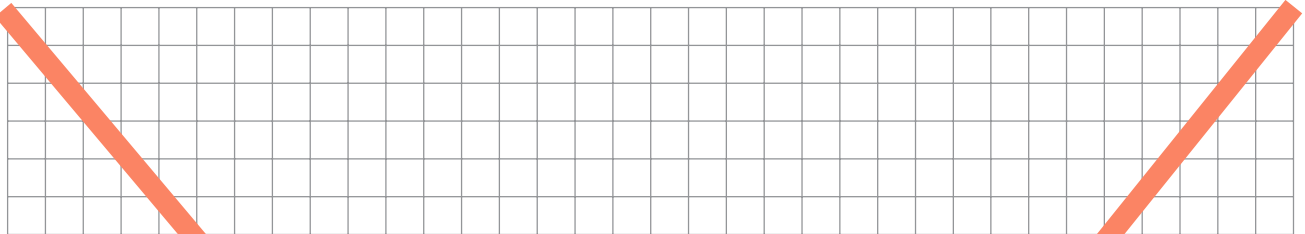


Je propose : $\Delta T = k_T \cdot \Delta \omega_1$ où $k_T \approx \frac{3,2 - 0,5 \text{ (N)}}{1000 \text{ rad/s}} \approx 2,7 \cdot 10^{-3} \text{ N/(rad/s)}$

et $\Delta Q = k_Q \cdot \Delta \omega_1$ où $k_Q \approx \frac{0,03 - 0,003 \text{ (N.m)}}{1000 \text{ rad/s}} \approx 2,7 \cdot 10^{-5} \text{ N.m/(rad/s)}$

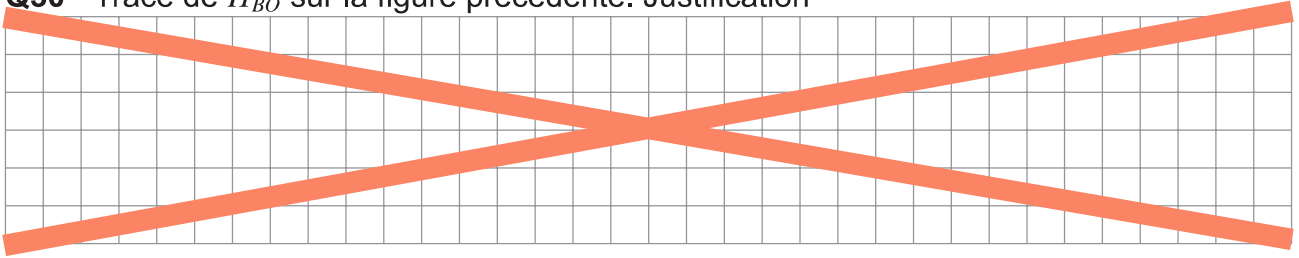
NE RIEN ÉCRIRE DANS CE CADRE

Q29 - Justification du modèle. Identification des valeurs en laissant les tracés sur la figure

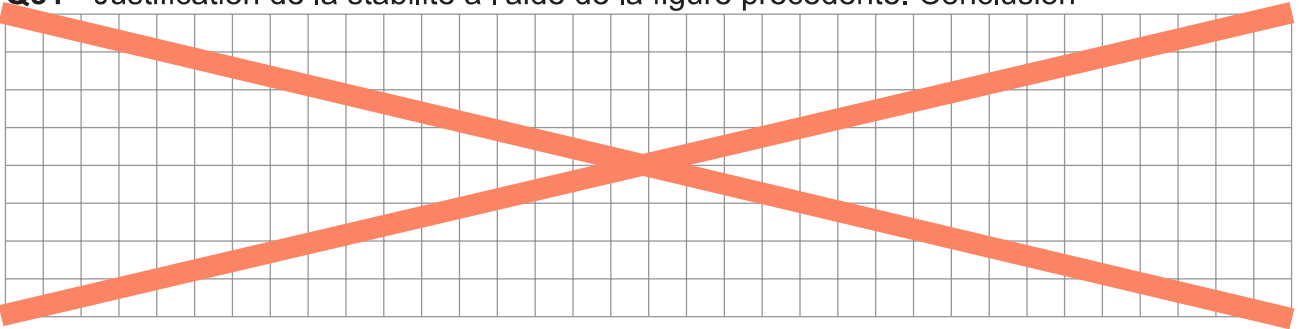


Diagrammes de Bode

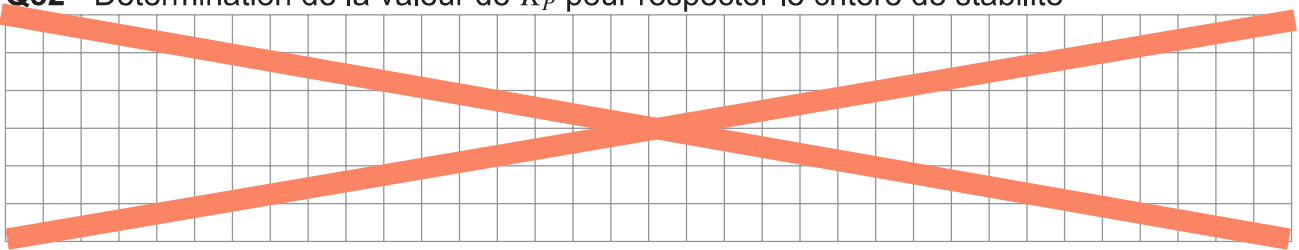
Q30 - Tracé de H_{BO} sur la figure précédente. Justification



Q31 - Justification de la stabilité à l'aide de la figure précédente. Conclusion



Q32 - Détermination de la valeur de K_p pour respecter le critère de stabilité



Q33 - Expression de la relation de transfert $\theta_R(p)$ en fonction de $\theta_R^C(p)$ et $P(p)$

$$\theta_R(p) = H_R(p) \cdot \theta_R^C(p) + H_P(p) \cdot P(p)$$

où $H_R(p) = \frac{K_p \cdot K_E \cdot \frac{K_S}{1 + \frac{2 \cdot z_s}{\omega_0 s} \cdot p + \frac{1}{\omega_0^2} \cdot p^2} \cdot \frac{1}{p}}{1 + K_p \cdot K_E \cdot \frac{K_S}{1 + \frac{2 \cdot z_s}{\omega_0 s} \cdot p + \frac{1}{\omega_0^2} \cdot p^2} \cdot \frac{1}{p}} = \frac{K_p \cdot K_E \cdot K_S}{K_p \cdot K_E \cdot K_S + p + \frac{2 \cdot z_s}{\omega_0 s} \cdot p^2 + \frac{1}{\omega_0^2} \cdot p^3}$

Donc: $H_R(p) = \frac{1}{1 + \frac{1}{K_p \cdot K_E \cdot K_S} + \frac{2 \cdot z_s}{\omega_0 \cdot K_p \cdot K_E \cdot K_S} \cdot p + \frac{1}{\omega_0^2 \cdot K_p \cdot K_E \cdot K_S} \cdot p^3}$

Et $H_P(p) = - \frac{1}{K_p \cdot K_E \cdot K_S} \cdot \left[1 + \frac{2 \cdot z_s}{\omega_0 s} \cdot p + \frac{1}{\omega_0^2} \cdot p^2 \right] \cdot H_R(p)$

Q34 - Contribution de la perturbation sur la valeur de $\theta_R(t)$ en régime établi

La contribution recherchée vaut :

$$\theta_P = - \frac{1}{K_p \cdot K_E \cdot K_S} \cdot P_0$$

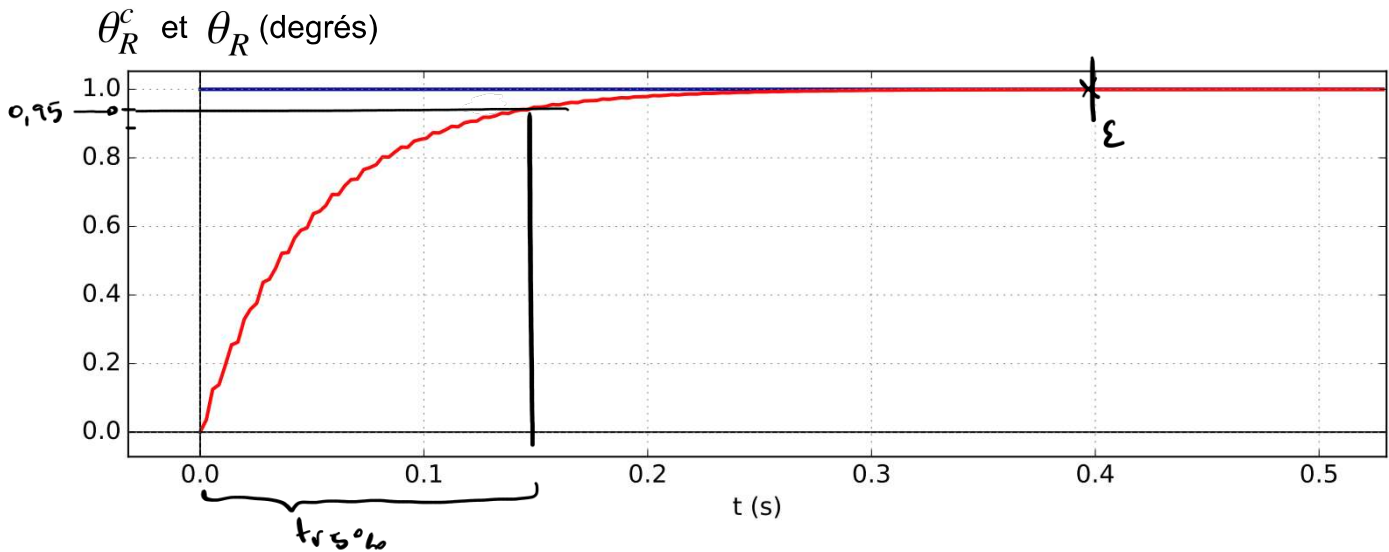
Q35 - Valeur de K_p pour respecter le critère de précision vis-à-vis de la perturbation.

In souhaite: $\theta_p < \underbrace{0,5^\circ}_{\theta_{lim}}$ donc $\frac{1}{K_p \cdot K_E \cdot K_S} \cdot P_0 < \theta_{lim}$ $\approx 2 \cdot \frac{2}{3} \cdot \frac{1}{10} = 1,3/10$

Et donc: $K_p > \frac{P_0}{\theta_{lim} \cdot K_E \cdot K_S}$ donc $K_p > \frac{1,3/10}{0,5^\circ \cdot 1(\%/s)/inc \cdot 150 inc/10}$

donc $K_p > 0,13$

Q36 -



Précision: je relève $\epsilon = 0 \rightarrow$ valide

Stabilité: il n'y a pas de dépassement \rightarrow valide

Rapidité: je relève $tr_{50\%} = 0,15 \text{ s} < 600 \text{ ms} \rightarrow$ valide

Q37. Expression de ϵ_i .

$$\epsilon_i = u_i - (a \cdot P_i + b)$$

Q38. Instructions pour calcul de SPP et SPu.

```
SPP = np.dot(P, P)
SPu = np.dot(P, u)
```

Q39. Instructions pour calcul de SP et Su.

```
SP = np.sum(P)
Su = np.sum(u)
```

Q40. Instructions pour calcul de a et b.

```
N = len(P)
a = (N * SPu - SP * Su) / (N * SPP - SP ** 2)
b = (SP * SPu - Su * SPP) / (SP ** 2 - N * SPP)
```

Q41. Instructions pour faire le tracé.

```
plt.plot(P, u, 'o')
plt.plot(P, a * P + b)
```

Q42. Calcul des premiers termes. $(n = 3)$

i	0	1	2	3	4
u_i	-2	0	-1	2,5	3
u_i^f	-2	-1	-1	0,5	1,5
		$\frac{-2+0}{2}$	$\frac{-2+0-1}{3}$	$\frac{0-1+2,5}{3}$	$\frac{-1+2,5+3}{3}$

Q43. Compléter la fonction filtre_mg(u,n).

```
def filtre_mg(u,n):
    uf=np.ones(len(u))
    for i in range(len(u)):
        s=0
        if i<n-1:
            for j in range(i+1):
                s+=u[j]
            uf[i]= s/(i+1)
        else:
            for j in range(i-n+1,i+1):
                s+=u[j]
            uf[i]=(s/n)
    return uf
```

← ligne à compléter

Q44. Influence de n sur la qualité du filtrage.

- Plus n est grand, plus le signal est filtré.
- Si n est trop grand, le signal devient "trop" filtré et les caractéristiques de la courbe sont moyennées.

Q45.

- On a :
$$\mathcal{I} \cdot \frac{u_{i+1}^f - u_i^f}{t_{i+1} - t_i} + u_i^f = u_i$$
 et donc :
$$u_{i+1}^f = u_i^f + (u_i - u_i^f) \cdot \frac{t_{i+1} - t_i}{\mathcal{I}}$$
- On peut imposer $u_0^f = u_0$.

Q46. Compléter la fonction filtre_pb(u, temps, f).

$$\mathcal{I} = \frac{1}{2 \cdot \pi \cdot f}$$

```
def filtre_pb(u, temps, f):  
    uf = np.ones(len(u))  
    uf[0] = u[0]  
    for i in range(1, len(u) - 1):  
        uf[i+1] = uf[i] + (u[i] - uf[i]) * (temps[i+1] - temps[i]) * 2 * np.pi * f  
    return uf
```

lignes à compléter

Q47. Influence de f sur la qualité du filtrage.

- Plus f est grand, moins le signal est filtré.
- Si f est trop petit, le filtrage devient trop important.

Q48. Comparaison des deux complexités.

- complexité moyenne glissante $\approx n \times N$
- " filtre passe-bas $\approx N$